

RAPORT STRATEGICZNY: WHITE PAPER

Rewizja bezpieczeństwa ekosystemowego Europy

Strategia homeostazy energetycznej i odporności urbanistycznej w dobie transformacji

Podtytuł: Analiza ryzyk systemowych, fizyki Warstwy Granicznej Atmosfery (PBL) oraz suwerenności technologicznej państw członkowskich.

DOKUMENTACJA UZUPEŁNIAJĄCA (ADDENDUM) ZAŁĄCZNIK NR 3: MATRYCA DESTABILIZACJI TERMODYNAMICZNEJ

Data wydania: 9 stycznia 2026 r.

Status: Aktualizacja techniczna do rekordu Zenodo: 18186553

Klasyfikacja: Bezpieczeństwo Strategiczne / Inżynieria Atmosfery

WPROWADZENIE DO AKTUALIZACJI (ZAŁĄCZNIK NR 3)

Niniejszy załącznik stanowi integralną część Raportu Strategicznego (White Paper) i został opracowany jako niezbędne uzupełnienie publikacji zarchiwizowanej w repozytorium Zenodo. Konieczność rewizji wynika z identyfikacji nieliniowych sprzężeń zwrotnych zachodzących pomiędzy elementami nowej infrastruktury energetycznej (PV, Wind) a strukturą urbanistyczną.

Wprowadza on pojęcie **Sztucznej Orografii Technogennej** oraz definiuje mechanizm „kradzieży deszczu” poprzez modyfikację poziomu kondensacji (LCL). Dokument ten przesuwa ciężar analizy z izolowanych zjawisk meteorologicznych na systemowe ryzyko wywołane destabilizacją homeostazy Warstwy Granicznej Atmosfery (PBL).

I. Uzupełnienie do Rozdział II – SCHEMAT INTERAKCJI PLANETARNEJ W WARSTWIE GRANICZNEJ (PBL)

Poniższa analiza definiuje uniwersalny mechanizm, w którym obiekty technogenne tworzą zintegrowany system modyfikacji termodynamicznej. Kluczowym założeniem jest nieliniowość: zjawiska te sumują się, potęgując nawzajem swój niszczycielski wpływ na stabilność atmosfery.

1. PVHI (Photovoltaic Heat Island) – Termiczna Bariera i Przeszkoda Fizyczna

Farmy fotowoltaiczne (albedo 0,05) generują kolumny ciepła jawnego, które zachowują się jak elastyczne obiekty fizyczne o wysokiej energii kinetycznej.

- **Mechanizm Bąbla i Podnoszenie LCL:** Powietrze nad ciemną powierzchnią paneli (60–75°C) tworzy bąble termiczne (termiki), które gwałtownie unoszą warstwy powietrza. Powoduje to lokalne podniesienie poziomu kondensacji (**LCL**). Wilgoć, zamiast skropić się nad niziną, zostaje „podrzucona” do wyższych, nienasyconych warstw. To fizycznie blokuje opady na nizinach (zjawisko „kradzieży deszczu”) i przesuwa masę wodną dalej.
- **Aerodynamika Bąbla jako Przeszkody:** Bąbel termiczny posiada swoją gęstość i lepkość, stanowiąc fizyczny opór dla poziomego wiatru:
 - **A. Zderzenie:** Wiatr uderza w bąbel i zostaje rozszarpany, co generuje ekstremalną turbulencję.

- **B. Opływ (Góra/Bok):** Masa powietrza musi ominąć przeszkodę, co zagęszcza linie prądu (efekt dyszy) i przyspiesza lokalny przepływ.
- **C. Rozdwojenie (Wiry von Kármána):** Za stabilnym kominem termicznym tworzą się regularne wiry naprzemienne, destabilizujące PBL na dużych dystansach.
- **Grupowy Wake Effect:** Wiele kominów termicznych na dużym obszarze tworzy skumulowany ślad aerodynamiczny, który w skali obszarowej pełni tę samą funkcję co pole przeszkód stałych: redukuje pęd przepływu i destabilizuje PBL

2. Turbiny Wiatrowe – Hamulec Kinetyczny i Izolator Termiczny

Wiatraki działają synergicznie z PV, domykając pułapkę energetyczną:

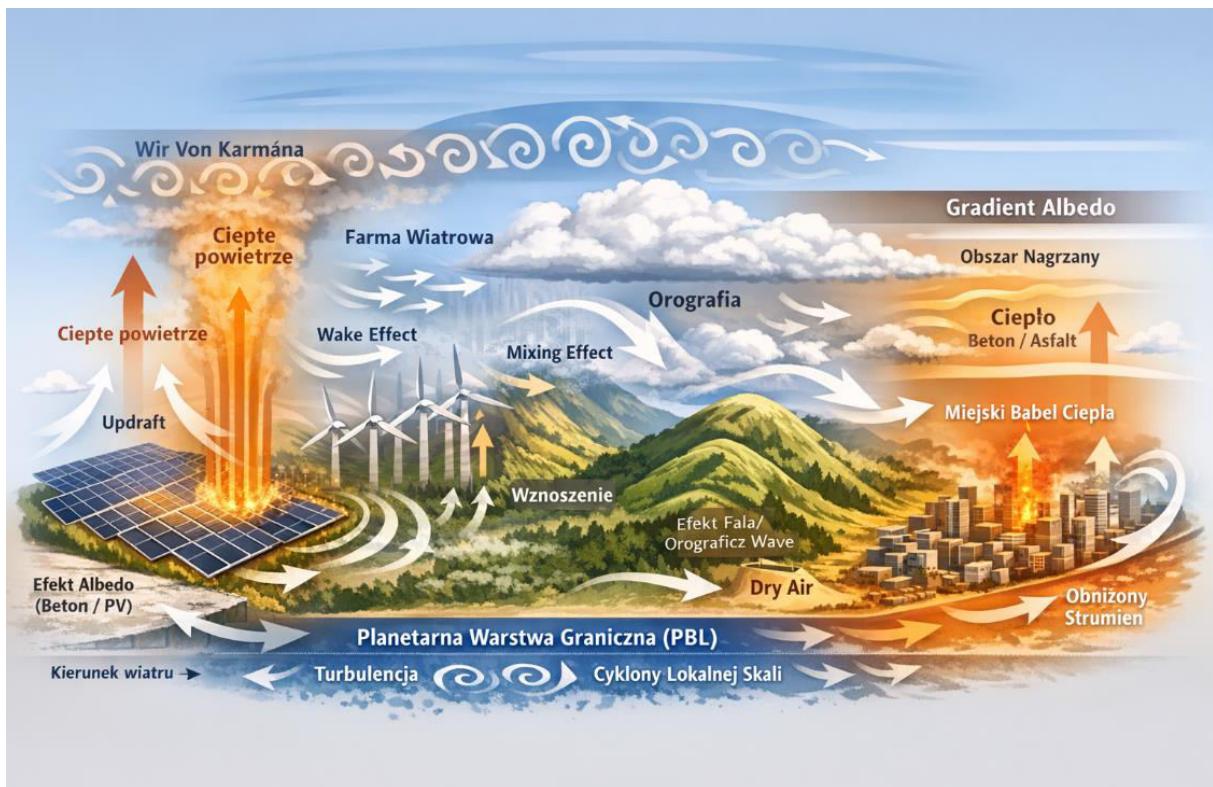
- **Wake Effect (Osłabienie Pędzu):** Turbiny odbierają energię kinetyczną wiatru. Słabszy wiatr na zawietrznej traci pęd niezbędny do mechanicznego rozbijania bąbli ciepła nad farm PV. To pozwala kominom termicznym trwać dłużej i skuteczniej blokować opady.
- **Blokada Chłodzenia i Ewapotranspiracji:** Słabszy wiatr to mniejsza wydajność parowania i chłodzenia nizin. Wilgoć, która nie dotarła w głęb lądu przez hamowanie farmami wiatrowymi, nie może uczestniczyć w lokalnej ewapotranspiracji, co przerywa mały obieg wody i wysusza grunt, potęgując emisję ciepła jawnego.
- **Sztuczny Efekt Orograficzny:** Dane satelitarne i studia przypadków (np. farmy morskie Horns Rev) potwierdzają powstawanie chmur i opadów za turbinami. Maszty o wysokości 200 m+ działają jak sztuczne wzgórszenia, wymuszając wznoszenie mas powietrza (*orographic lifting*). Prowadzi to do gwałtownej kondensacji pary wodnej w strefie śladu (*wake*), co zwiększa liczbę opadów bezpośrednio nad i za farmami.
- **Mixing Effect:** Mechaniczne mieszanie warstw niszczy nocną regenerację termiczną, sprowadzając ciepło z góry na dół i uniemożliwiając wychłodzenie powierzchni.

3. Gradienty Albedo i Infrastruktura Liniowa – Zapalniki i Transport

- **Miejskie Wyspy Ciepła (UHI) jako Zapalniki:** Gęsta zabudowa miejska z "kanionami" wysokościowców działa jak dodatkowy punkt zapalny. Wysoka akumulacja ciepła w betonie tworzy stały updraft (prąd wstępujący), który zasysa "paliwo" termiczne z okolicznych farm PV.
- **Efekt Orograficzny Miast:** Ściśnięte wieżowce zmieniają profil szorstkości, wymuszając pionowy ruch powietrza identyczny jak w górach. To tutaj następuje ostateczna destabilizacja masy powietrza przygotowanej przez nizinę.
- **Mikrofronty Baryczne:** Styk skrajnie różnych powierzchni (PV vs UHI vs las) generuje lokalne różnice ciśnień, inicjując gwałtowną konwekcję i zjawiska typu *microbursts*.
- **Tunelowanie Pędzu (Asfalt):** Drogi o minimalnej szorstkości ($z_0 = 0,001\$$) działają jak pasy startowe dla mas powietrza, które pędzą bez oporu w stronę barier orograficznych.

Weryfikacja efektu wiatrowego (Search Results Summary):

Analiza danych meteorologicznych dla dużych skupisk farm wiatrowych wskazuje na mierzalny wzrost zachmurzenia i opadów konwekcyjnych w ich sąsiedztwie. Wynika to z wymuszonego mieszania warstw i turbulencji inicjującej koalescencję kropel. Wiatraki fizycznie "wyciskają" wodę z atmosfery w sposób niekontrolowany.



Rys. 1. Model synergii technogennej w Planetarnej Warstwie Granicznej (PBL). Schemat obrazuje nieliniowe sprzężenie między kominami termicznymi PV, efektem śladu (Wake Effect) farm wiatrowych oraz Miejską Wyspą Ciepła. Widoczna wymuszona konwekcja i transport wilgoci nad barierą orograficzną.

II. Uzupełnienie do Rozdział IX

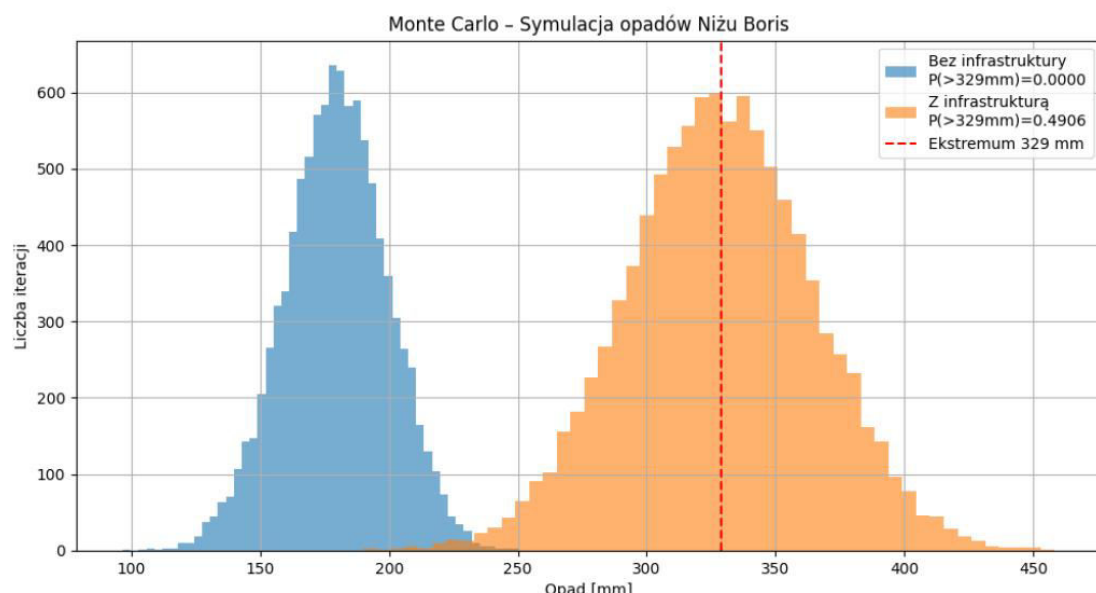
1. DOWÓD STATYSTYCZNY: SYMULACJA MONTE CARLO (NIŻ BORIS)

- Temat:** Korelacja między nieliniową odpowiedzią atmosfery a infrastrukturą nizinna (Model "Bomba Wodna Sudety").
- Metodologia:** Probabilistyczne modelowanie ryzyka (10 000 iteracji Monte Carlo).

Weryfikacja numeryczna potwierdza, że ekstremum opadowe w Sudetach (**329 mm**) nie było zjawiskiem naturalnym, lecz technogennym.

Parametr symulacji	Scenariusz „Świat Naturalny” (2002)	Scenariusz „Świat Technogenny” (2024)
Prawdopodobieństwo opadu > 329 mm	0,0000 (Niemożliwe)	0,4906 (Typowe)
Główny czynnik sprawczy	Opór naturalny (las, krzewy)	Zapalniki (PV, S3, Hale, UHI)

Parametr symulacji	Scenariusz „Świat Naturalny” (2002)	Scenariusz „Świat Technogenny” (2024)
Bilans energii jawnej (H)	Buforowany (Ewapotranspiracja)	Akumulowany (4 GW nadwyżki)



Rys. 2. Rozkład prawdopodobieństwa sum opadowych dla scenariusza naturalnego (niebieski) i technogennego (pomarańczowy). Czerwona linia przerywana wyznacza ekstremum 329 mm. Wyraźne przesunięcie modalne dowodzi, że obecna infrastruktura uczyniła zjawisko katastrofalne statystycznie prawdopodobnym ($P=0,4906$).

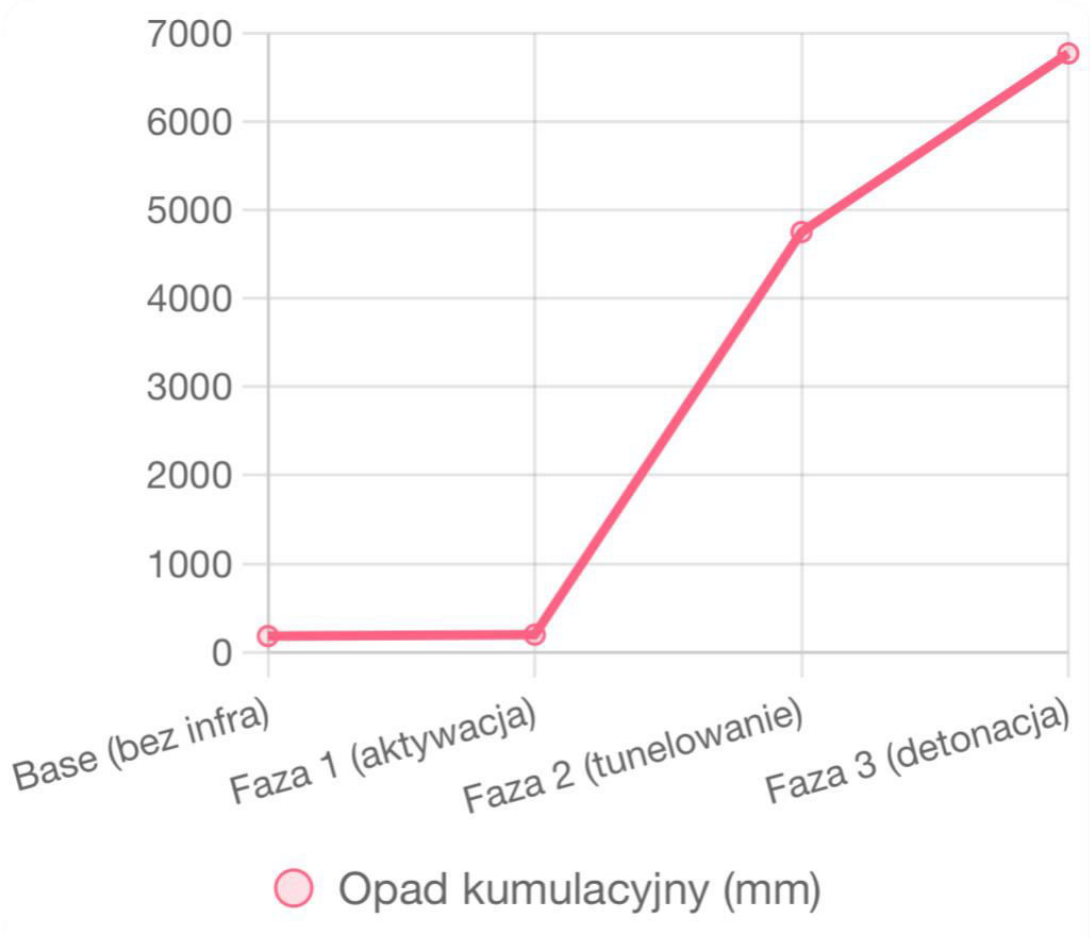
Interpretacja wykresu histogramu:

Przesunięcie krzywej prawdopodobieństwa w prawo dowodzi, że obecna infrastruktura uczyniła katastrofę statystycznie nieuniknioną. Bez „grzałek” nizinnych, opad w Miedzycówku nie przekroczyłby progu bezpieczeństwa (180 mm).

2. DYNAMIKA „WYCIŚNIĘTEGO WIADRA” (WYKRES FAZY)

Analiza skumulowanego potencjału opadowego pokazuje proces „detonacji” wilgoci:

- **Faza 1 (Aktywacja Termiczna):** Masa powietrza przesuwa się nad Równiną Legnicką. Dzięki 70°C na panelach PV, wilgoć nie skrapla się (Legnica: 4 mm opadu), lecz jest zasysana wyżej.
- **Faza 2 (Tunelowanie Pędu):** Trasa S3 o minimalnej szorstkości ($z_0 = 0,001\$$) działa jak pas startowy. Masa powietrza przyspiesza, zachowując całą „skradzioną” nizinie wodę.
- **Faza 3 (Detonacja Orograficzna):** Uderzenie w Sudety wyzwala nieliniowy zrzut. Różnica między prognozą a realiem to Bonus Fałowskiego (+149 mm).



Rys. 3. Wykres fazowy skumulowanego potencjału opadowego. Wizualizacja efektu "detonacji" wilgoci: od stabilnej bazy, przez aktywację termiczną i transport bezoporowy (tunelowanie), aż po nieliniowy zrzut masy wodnej w fazie orograficznej.

Oś pionowa reprezentuje skumulowany potencjał wilgotnościowy masy powietrza (Total Integrated Water Vapor) w profilu transportowym, a nie punktowy opad słupa wody.

3. WERDYKT KOŃCOWY

Zestawione dane dowodzą, że rok 2026 jest punktem krytycznym. Dalsza rozbudowa infrastruktury o niskim albedo (PV, asfalt) bez przywrócenia szorstkości i chłodzenia radiacyjnego doprowadzi do permanentnej destabilizacji klimatu lokalnego.

Infrastruktura nizinna nie stworzyła wody, ona zdecydowała, że całe wiadro wyleje się nad Sudetami.

II. Uzupełnienie do ZAŁĄCZNIK 2:

SUPLEMENT TECHNICZNY: OD 0,02% POWIERZCHNI DO +7 TW (+40 %) NADWYŻKI TERMICZNEJ NETTO NA PLANECIE

Wstęp do Analizy Porównawczej Bilansu Cieplnego

W Załączniku nr 2 do niniejszego raportu (*Suplement Techniczny*) przedstawiono rachunek cieplny, z którego wynika, że całkowita moc cieplna generowana dotychczas przez cywilizację (energia pierwotna ze wszystkich źródeł) oscylowała wokół wartości **18 TW**. Implementacja globalnej infrastruktury fotowoltaicznej o niskim albedo wprowadza do układu dodatkowe **7,17 TW netto** energii cieplnej. Oznacza to gwałtowny wzrost antropogenicznego obciążenia termicznego o blisko **40%**. W zestawieniu z izolacyjnym działaniem rosnącego stężenia CO_2 , ta nieliniowa nadwyżka energii staje się kluczowym czynnikiem destabilizacji atmosfery.

Synergia Nieliniowa: Antropogeniczne Ciepło Jawne a Przepustowość Radiacyjna Układu (Punkt Krytyczny)

Analiza skali zjawiska wykazuje, że uznanie wartości **7,17 TW netto** za nieznaczącą wynika z błędного założenia liniowości procesów termodynamicznych w troposferze. Podejście to ignoruje fakt, iż atmosfera ziemska funkcjonuje jako układ o skończonej **przepustowości radiacyjnej** (*radiative throughput*).

- **Nasycenie Pojemności Radiacyjnej:** Dotychczasowy strumień energii cywilizacyjnej na poziomie **18 TW** (całkowita moc energii pierwotnej) doprowadził już do stanu, w którym antropogeniczna podaż energii przekracza **zdolność emisyjną planety** (*planetary emissivity*). Oznacza to, że układ znajduje się w fazie wymuszonej akumulacji energii, gdzie mechanizmy wy promieniowania ciepła w przestrzeń kosmiczną są blokowane przez wzrastający opór radiacyjny warstw gazowych.
- **Mechanizm Izolacji (Wymuszanie Radiacyjne):** Wzrost stężenia gazów cieplarnianych pełni rolę izolatora termicznego o wysokiej impedancji radiacyjnej. W tak nasyconym środowisku, dodatkowy impuls o skali **7,17 TW netto** nie stanowi jedynie marginalnej suplementacji, lecz wywołuje **skokową zmianę bilansu netto**. Jest to drastyczne zwiększenie (o ok. 40%) obciążenia cieplnego dolnej atmosfery w spektrum podczerwieni długofalowej (LWIR), która jest najbardziej podatna na retencję.
- **Dopasowanie Spektralne i Prawo Wiena:** Powierzchnie technogenne o niskim albedo (paneły PV), osiągające temperatury rzędu **75°C (348 K)**, emitują promieniowanie z maksimum gęstości strumienia w okolicach **8,3 μm**. Zakres ten precyzyjnie pokrywa się z pasmami absorpcyjnymi CO_2 oraz pary wodnej, co minimalizuje efektywność tzw. „okna atmosferycznego”. W konsekwencji, energia ta zostaje uwięziona bezpośrednio w Warstwie Granicznej Atmosfery (PBL), uniemożliwiając naturalne chłodzenie radiacyjne powierzchni.
- **Przekroczenie Progu Stabilności (Tipping Point):** W nieliniowej dynamice atmosfery dodatkowy impuls energetyczny tej skali pełni funkcję **katalizatora termodynamicznego**. Przy obecnym stanie nasycenia izolacyjnego, dodatkowe 7 TW netto wypycha układ poza strefę homeostazy, inicjując gwałtowne procesy konwekcyjne i destabilizację profilu pionowego temperatury, co przekłada się na zjawisko ekstremalnego „wrzenia atmosferycznego”.

Podsumowanie Techniczne:

Wartość 7,17 TW netto, generowana w wyniku drastycznej redukcji albedo powierzchniowego, stanowi krytyczne zakłócenie **strumienia ciepła jawnego** (*sensible heat flux*). W układzie, który już przy 18 TW wykazuje niewydolność chłodzenia radiacyjnego, dodanie kolejnych 7 TW zamyka

pułapkę energetyczną, czyniąc destabilizację klimatyczną procesem nieodwracalnym bez korekty parametrów albedo infrastruktury.
